Interazioni Elettrodeboli

prof. Francesco Ragusa Università di Milano

Lezione n. 17

25.11.2025

Proprietà isotopiche della corrente adronica Fattori di forma CVC e decadimento $\pi^- \to \pi^0~e^-~\overline{\nu}_e$

anno accademico 2025-2026

- L'invarianza rispetto ad una trasformazione con $\Lambda \neq 0$ porta alla corrente (di
 - Isospin) conservata $\widehat{\overline{\mathbf{J}}}^{\mu} = \widehat{\overline{\Psi}} \gamma^{\mu} \frac{\overrightarrow{\boldsymbol{\tau}}}{2} \widehat{\Psi} \qquad \qquad \overrightarrow{\boldsymbol{\tau}} = \begin{bmatrix} \tau_1 \\ \tau_2 \\ \tau_3 \end{bmatrix}$
 - La corrente definita è un oggetto complicato
 - ullet E un operatore vettoriale (nel senso di Lorentz) rispetto all'indice μ
 - È un operatore vettoriale (nello spazio dell'isospin) rispetto all'indice i degli operatori di Pauli au_i
 - ullet I campi Ψ sono isospinori
 - ullet \mathbf{J}^{μ} è conservata: per ogni componente i si definiscono le cariche isotopiche

$$\widehat{\mathbf{T}} = \int \widehat{\mathbf{J}}^0 (x) d^3 \mathbf{r} = \int \widehat{\overline{\Psi}} \gamma^0 \frac{\vec{\tau}}{2} \widehat{\Psi} d^3 \mathbf{r} \qquad \widehat{\mathbf{T}} = \int \widehat{\overline{\Psi}} \gamma^0 \frac{\vec{\tau}}{2} \widehat{\Psi} d^3 \mathbf{r}$$

- Gli operatori T_i appena definiti
 - ullet Sono operatori come gli operatori di campo Ψ
 - Agiscono sugli stati dello spazio di Fock (in particolare sul vuoto)
 - Gli stati hanno adesso anche il grado di libertà isospin
 - ullet T_i possono essere espressi tramite operatori di creazione e distruzione
- Si possono verificare le seguenti regole di commutazione

$$\boxed{\left[\,\widehat{T}_{i},\widehat{T}_{j}\,\right]=\,i\varepsilon_{ijk}\widehat{T}_{k}} \qquad \boxed{\left[\,\widehat{\mathbf{T}},\widehat{\Psi}\,\right]=-\frac{\overrightarrow{\boldsymbol{\tau}}}{2}\,\widehat{\Psi}} \qquad \left[\,\widehat{\mathbf{T}},\widehat{\Psi}^{\dagger}\,\right]=\,\widehat{\Psi}^{\dagger}\,\frac{\overrightarrow{\boldsymbol{\tau}}}{2}}$$

ullet Consideriamo adesso la componente m della corrente di isospin

$$J_m^{\mu} = \overline{\Psi} \gamma^{\mu} \frac{\tau_m}{2} \Psi$$

• Dall'ultima relazione della diapositiva precedente si può ricavare

$$\left[\,[T_l,J_m^\mu\,]=iarepsilon_{lmk}J_k^\mu\,
ight]$$

• In analogia a quanto si fa nella teoria del momento angolare (o dello spin isotopico) si possono definire gli operatori

$$J_{+}^{\mu}=J_{1}^{\mu}+iJ_{2}^{\mu} \qquad \qquad J_{-}^{\mu}=J_{1}^{\mu}-iJ_{2}^{\mu} \qquad \qquad J_{-}^{\mu}=J_{+}^{\dagger\mu}$$

• Utilizzando le regole di commutazione precedenti si ottiene

$$egin{aligned} igl[T_3,J_+^\muigr] = +J_+^\mu \ \hline igl[T_3,J_-^\muigr] = -J_-^\mu \ \hline \end{array}$$

- Notiamo che le ultime relazioni trovate sono formalmente identiche a quelle della diapositiva 469
 - La differenza $\stackrel{.}{\mathbf{e}}$ la sostituzione dell'operatore carica elettrica Q con l'operatore T_3
- Questa circostanza suggerisce che possa esistere una relazione fra la corrente debole carica J^\dagger e la corrente di isospin J^+

• Gli operatori dello spazio isotopico sono classificati secondo le loro proprietà di trasformazione sotto l'azione di un operatore U di $\mathrm{SU}(2)$

$$\widehat{U} = \exp[i\mathbf{\Lambda} \cdot \mathbf{T}]$$

- Operatori isoscalari: ad esempio il numero barionico
 - Infatti

$$\widehat{B}' = e^{i\mathbf{\Lambda}\cdot\mathbf{T}}\widehat{B}e^{-i\mathbf{\Lambda}\cdot\mathbf{T}} = \int e^{i\mathbf{\Lambda}\cdot\mathbf{T}}\widehat{\Psi}^{\dagger}e^{-i\mathbf{\Lambda}\cdot\mathbf{T}} e^{i\mathbf{\Lambda}\cdot\mathbf{T}}\widehat{\Psi}e^{-i\mathbf{\Lambda}\cdot\mathbf{T}}d^{3}\mathbf{r}$$

$$e^{i\mathbf{\Lambda}\cdot\mathbf{T}}\widehat{\Psi}e^{-i\mathbf{\Lambda}\cdot\mathbf{T}} = e^{i\mathbf{\Lambda}\cdot\mathbf{\tau}/2}\widehat{\Psi} = \int$$

$$e^{i\mathbf{\Lambda}\cdot\mathbf{T}}\widehat{\Psi}e^{-i\mathbf{\Lambda}\cdot\mathbf{T}} = e^{i\mathbf{\Lambda}\cdot\mathbf{\tau}/2}\widehat{\Psi} \qquad = \int \widehat{\Psi}^{\dagger}e^{-i\mathbf{\Lambda}\cdot\mathbf{\tau}/2} \ e^{i\mathbf{\Lambda}\cdot\mathbf{\tau}/2}\widehat{\Psi}d^{3}\mathbf{r} = \int \widehat{\Psi}^{\dagger}\widehat{\Psi}d^{3}\mathbf{r} = \widehat{B}$$

- ullet Operatori isospinoriali: ad esempio il campo Ψ
 - ullet Si verifica facilmente che Ψ si trasforma come un isospinore

$$\widehat{\Psi}' = e^{i\mathbf{\Lambda}\cdot\mathbf{T}}\widehat{\Psi}e^{-i\mathbf{\Lambda}\cdot\mathbf{T}} = e^{i\mathbf{\Lambda}\cdot\mathbf{\tau}/2}\widehat{\Psi}$$

$$\widehat{\Psi}' = e^{i \mathbf{\Lambda} \cdot \mathbf{\tau} / \mathbf{2}} \widehat{\Psi}$$

- Operatori isovettoriali: ad esempio la corrente
 - La verifica che sia un isovettore è più complicata
 - Si può verificare † che per Λ infinitesimo

$$\Psi' = e^{i\mathbf{\Lambda}\cdot\mathbf{T}}\mathbf{J}^{\mu}e^{-i\mathbf{\Lambda}\cdot\mathbf{T}} \approx \overline{\Psi}\gamma_{\mu}\frac{\vec{\tau}}{2}\Psi + \mathbf{\Lambda}\times\overline{\Psi}\gamma_{\mu}\frac{\vec{\tau}}{2}\Psi$$

• †Bernstein, Elementary Particles and their currents, W.H. Freeman & Company (1968)

$$\Psi = \begin{pmatrix} \psi_p \\ \psi_n \end{pmatrix}$$

 $|\widehat{B}| = \int \widehat{\Psi}^{\dagger} \widehat{\Psi} d^3 \mathbf{r}$

$$\mathbf{J}^{\mu} = \widehat{\overline{\Psi}} \gamma^{\mu} \, \frac{\overrightarrow{\tau}}{2} \, \widehat{\Psi}$$

• Discutiamo adesso l'importante relazione

$$\boxed{\frac{\widehat{Q}}{e} = \frac{\widehat{B}}{2} + \widehat{T}_3}$$

ullet Consideriamo l'operatore B

$$\widehat{B}=\int \widehat{\Psi}^{\dagger}\widehat{\Psi}d^{3}\mathbf{r}$$

$$\widehat{B} = \int \left(\psi_p^{\dagger} \quad \psi_n^{\dagger}\right) \begin{pmatrix} 1 & 0 \\ 0 & 1 \end{pmatrix} \begin{pmatrix} \psi_p \\ \psi_n^p \end{pmatrix} d^3 \mathbf{r} = \int \left(\psi_p^{\dagger} \psi_p + \psi_n^{\dagger} \psi_n\right) d^3 \mathbf{r}$$

$$\hat{B} = (\hat{N}_p - \hat{N}_{\overline{p}} + \hat{N}_n - \hat{N}_{\overline{n}})$$

• Consideriamo adesso l'operatore T_3

$$\widehat{\mathbf{T}} = \int \widehat{\overline{\Psi}} \gamma^0 \frac{\boldsymbol{\tau}}{2} \widehat{\Psi} d^3 \mathbf{r}$$

$$\widehat{T}_{3} = \frac{1}{2} \int \widehat{\overline{\Psi}} \gamma^{0} \begin{pmatrix} 1 & 0 \\ 0 & -1 \end{pmatrix} \widehat{\Psi} d^{3} \mathbf{r} = \frac{1}{2} \int \widehat{\Psi}^{\dagger} \begin{pmatrix} 1 & 0 \\ 0 & -1 \end{pmatrix} \widehat{\Psi} d^{3} \mathbf{r} = \frac{1}{2} \int \left(\psi_{p}^{\dagger} \psi_{n} \right) \begin{pmatrix} 1 & 0 \\ 0 & -1 \end{pmatrix} \begin{pmatrix} \psi_{p} \\ \psi_{n} \end{pmatrix} d^{3} \mathbf{r}$$

$$= \frac{1}{2} \int \left(\psi_{p}^{\dagger} \psi_{p} - \psi_{n}^{\dagger} \psi_{n} \right) d^{3} \mathbf{r}$$

$$= \frac{1}{2} \int \left(\psi_{p}^{\dagger} \psi_{p} - \psi_{n}^{\dagger} \psi_{n} \right) d^{3} \mathbf{r}$$

• In definitiva

$$\widehat{T_3} = rac{\widehat{N}_p - \widehat{N}_{\overline{p}}}{2} - rac{\widehat{N}_n - \widehat{N}_{\overline{n}}}{2}$$

• Per finire possiamo definire la carica elettrica del sistema (in unità di e) come il numero di protoni

$$N_p = \int \psi_p^\dagger \psi_p d^3 {f r} \ = \int \Bigl(\psi_p^\dagger \ \psi_n^\dagger \Bigr) \Bigl(egin{matrix} 1 & 0 \ 0 & 0 \end{smallmatrix} \Bigr) \Bigl(egin{matrix} \psi_p \ \psi_n \end{smallmatrix} \Bigr) \widehat{\Psi} d^3 {f r}$$

$$\frac{\widehat{Q}}{e} = \int \widehat{\overline{\Psi}} \gamma^0 \begin{pmatrix} 1 & 0 \\ 0 & 0 \end{pmatrix} \widehat{\Psi} d^3 \mathbf{r}$$

• Abbiamo utilizzato le seguenti matrici 2×2

$$\widehat{Q} \to \begin{pmatrix} 1 & 0 \\ 0 & 0 \end{pmatrix} \qquad \qquad \widehat{B} \to \begin{pmatrix} 1 & 0 \\ 0 & 1 \end{pmatrix} \qquad \qquad \widehat{T}_3 \to \begin{pmatrix} \frac{1}{2} & 0 \\ 0 & -\frac{1}{2} \end{pmatrix}$$

Ovviamente si ha

$$\begin{pmatrix} 1 & 0 \\ 0 & 0 \end{pmatrix} = \frac{1}{2} \begin{pmatrix} 1 & 0 \\ 0 & 1 \end{pmatrix} + \begin{pmatrix} \frac{1}{2} & 0 \\ 0 & -\frac{1}{2} \end{pmatrix}$$

Utilizzando la relazione precedente si trova

$$\frac{\widehat{Q}}{e} = \frac{\widehat{B}}{2} + \widehat{T}_3$$

- Ritorniamo adesso alle considerazioni fatte nella diapositiva 474
 - Avevamo visto le regole di commutazione

$$[T_3, J_+^{\mu}] = +J_+^{\mu}$$
 $[T_3, J_-^{\mu}] = -J_-^{\mu}$

- Abbiamo appena visto che $\frac{\widehat{Q}}{\widehat{Q}} = \frac{\widehat{B}}{2} + \widehat{T}_3$
 - ullet Dato che la corrente J_+ conserva il numero barionico, B commuta con la corrente e quindi possiamo sostituire $\,Q\,$ a $\,T_3\,$ nelle regole di commutazione

$$\left[Q, J_+^{\mu}\right] = +J_+^{\mu}$$

$$[\,Q,J_-^\mu\,]=-J_-^\mu$$

- Tutto ciò ci permette di dire che la corrente adronica carica $J^{\dagger lpha}$ ha evidenti somiglianze con un operatore nello spazio di isospin con le proprietà di un operatore di innalzamento o di abbassamento
 - La corrente $J^{\dagger lpha} \equiv J_+^lpha$ che induce, ad esempio, transizioni n o p
 - La corrente $J^{lpha}\equiv J_{-}^{lpha}$ che induce, ad esempio, transizioni p o n
 - Assumiamo pertanto che gli stati iniziale e finale siano elementi di un spazio isotopico

$$|p\rangle = \left|\frac{1}{2}, \frac{1}{2}\right\rangle$$
 $|n\rangle = \left|\frac{1}{2}, -\frac{1}{2}\right\rangle$

La corrente adronica

- Studiamo ora il comportamento generale della corrente adronica in relazione alle sue proprietà di trasformazione per il gruppo di Lorentz
 - Consideriamo un elemento di matrice della corrente fra $\langle f \mid h^{\alpha}(x) \mid i \rangle$ uno stato iniziale e uno stato finale $|i\rangle$ ed $|f\rangle$
 - Ad esempio nel decadimento eta del neutrone i=n f=p $\left\langle p\mid h^{lpha}\left(x
 ight)\mid n
 ight
 angle$
 - Oppure nel decadimento eta del pione $egin{aligned} m{i} = m{\pi}^- & m{f} = m{\pi}^0 & \left\langle \pi^0 \mid h^lpha \left(x
 ight) \mid \pi^-
 ight
 angle \end{aligned}$
- Innanzitutto la teoria deve essere invariante per traslazioni
 - L'invarianza per traslazioni (P^{μ} generatori delle traslazioni) implica che si possa scrivere

$$h^{\alpha}\left(x\right) = e^{+i\hat{P}\cdot x}h^{\alpha}\left(0\right)e^{-i\hat{P}\cdot x} \qquad \left\langle f\mid h^{\alpha}\left(x\right)\mid i\right\rangle = e^{iq\cdot x}\left\langle f\mid h^{\alpha}\left(0\right)\mid i\right\rangle \qquad q^{\mu} = p_{f}^{\mu} - p_{i}^{\mu}$$

· Consideriamo adesso l'elemento di matrice

$$\langle f \mid h^{\alpha}(0) \mid i \rangle$$

· Abbiamo già notato che ha una componente polare e una assiale

$$\langle f \mid h^{\alpha}(0) \mid i \rangle = \langle f \mid V^{\alpha}(0) \mid i \rangle - \langle f \mid A^{\alpha}(0) \mid i \rangle$$

La corrente adronica: Fattori di Forma

• Nella trattazione del decadimento β abbiamo utilizzato il risultato (diap. 298)

$$\langle p \, | \, \overline{\psi}_p \Gamma^\mu \psi_n \, | \, n \rangle = \, \overline{u}_{p_p} \Gamma^\mu u_{p_n} e^{iq \cdot x}$$

- Questo risultato vale solo per particelle puntiformi (senza struttura)
- Non è adeguato per calcoli precisi con adroni
 - Nel caso degli adroni occorre ricorrere a parametrizzazioni che superino la nostra incapacità di calcolare esattamente gli elementi di matrice in presenza dell'interazione forte
- Sulla base di considerazioni di invarianza relativistica si può scrivere la forma più generale che devono avere gli elementi di matrice p
 - Nel caso di fermioni (ad esempio neutrone \rightarrow protone)

$$\left\langle p \mid V_{\mu}^{\dagger} \mid n \right\rangle = \overline{u} \left(p_{f} \right) \left[g_{V} \gamma_{\mu} + f_{V} \frac{i \sigma_{\mu \nu} q^{\nu}}{2m} + h_{V} \frac{q_{\mu}}{2m} \right] u \left(p_{i} \right)$$

$$\left\langle p \mid A_{\mu}^{\dagger} \mid n \right\rangle = \overline{u} \left(p_{f} \right) \left[g_{A} \gamma_{\mu} \gamma^{5} + f_{A} \frac{i \sigma_{\mu \nu} q^{\nu}}{2m} \gamma^{5} + h_{A} \frac{q_{\mu}}{2m} \gamma^{5} \right] u \left(p_{i} \right)$$

- Le quantità $g_X,\,f_X,\,h_X\;(X=V,\,A)$ sono funzioni scalari dell'unica quantità cinematica scalare non banale: $q^2=(\;p_f-\;p_i\;)^2$
- Notiamo che per particelle senza struttura $f_X=\,h_X=\,0$ e $g_X=\,1$

La corrente adronica: Fattori di Forma

- I fattori di forma possono essere estratti da misure di decadimenti deboli in funzione del momento trasferito
 - ullet In particolare abbiamo già visto alcuni risultati per il decadimento eta del n
 - Data la piccola differenza di massa fra neutrone e protone il momento trasferito è limitato a valori molto piccoli: $q^2 pprox 0$
 - ullet Nel limite di bassi momenti trasferiti sopravvivono solo i Fattori di Forma g_X

$$\left\langle p \mid V_{\mu}^{\dagger} \mid n \right\rangle \approx \overline{u}(p_f)g_V(0)\gamma_{\mu}u(p_i) \qquad \qquad \left\langle p \mid A_{\mu}^{\dagger} \mid n \right\rangle \simeq \overline{u}(p_f)g_A(0)\gamma_{\mu}\gamma^5u(p_i)$$

• Confrontando con risultati ottenuti da transizioni di Fermi $0^+
ightarrow 0^+$

$$G_{\beta} = Gg_{V}(0)$$
 $G_{\beta} = 1.13578 \pm 0.00027 \times 10^{-5} \text{GeV}^{-2}$

• Utilizzando per G il valore ottenuto G_{μ} dalla vita media del muone

$$G_{\mu} = 1.16637 \pm 0.00001 \times 10^{-5} \,\mathrm{GeV^{-2}}$$

• Utilizzando $G=G_{\mu}$ otteniamo

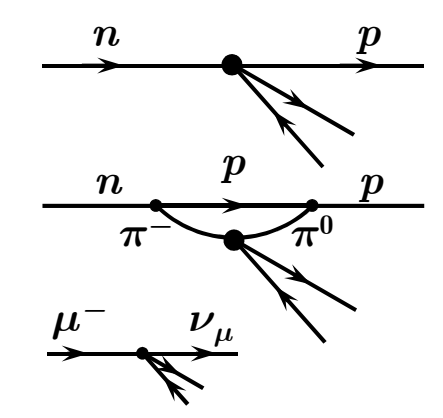
$$g_V(0) = 0.97377 \pm 0.00023$$

• Dagli studi di transizioni di Gamov—Teller si ottiene

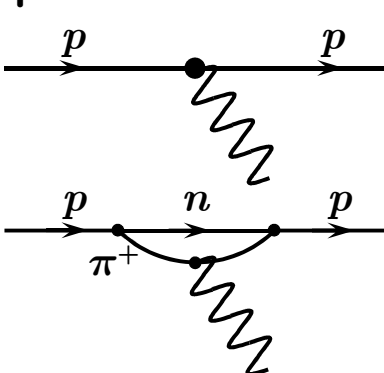
$$\frac{g_A(0)}{g_V(0)} = 1.2695 \pm 0.0029$$

La corrente adronica vettoriale

- La cosa più interessante del risultato precedente è che $g_{\it V}(0)$ è praticamente 1
 - Significa che a basso momento trasferito la parte vettoriale della corrente adronica si comporta in modo molto simile alla corrente vettoriale del muone
 - L'interazione forte non modifica il decadimento debole
- · Questa affermazione merita dei commenti
 - Per il decadimento del neutrone abbiamo calcolato
 - Poiché esiste il decadimento $\pi^-
 ightarrow \pi^0 \, e^- \, \overline{
 u}_e$
 - Dovremmo considerare anche contributi tipo
 - Il fatto che $g_V(0)=1$ significa che il secondo diagramma non modifica il primo che risulta uguale a quello del decadimento del leptone μ



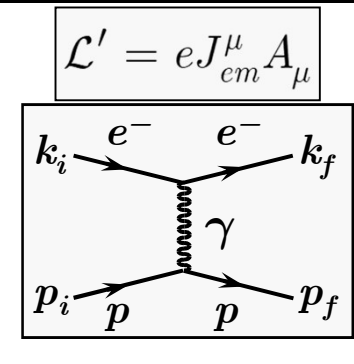
- Questa circostanza è analoga a quanto succede alle proprietà elettromagnetiche del protone a basso momento trasferito p
 - L'interazione elettromagnetica del protone è descritta dal diagramma
 - È identica a quella dell'elettrone (puntiforme)
 - Non è modificata da effetti del tipo indicato dal diagramma



Digressione: la corrente elettromagnetica

- Nel caso dello scattering elastico elettrone protone il processo è descritto dall'interazione di due correnti tramite un fotone
 - L'elemento di matrice della corrente leptonica si può calcolare esattamente perché si possono usare i campi liberi

$$J_{em}^{\mu}(x) = \overline{\psi}_{e}(x) \gamma^{\mu} \psi_{e}(x) \qquad \left\langle k_{f} \left| J_{em}^{\mu}(x) \left| k_{i} \right\rangle = \overline{u}_{k_{f}} \gamma^{\mu} u_{k_{i}} e^{iq \cdot x} \right\rangle \right\rangle$$



$$q = p_f - p_i$$

• Per l'elemento di matrice della corrente adronica bisogna utilizzare una parametrizzazione simile a quanto fatto per l'interazione debole

$$\left\langle p_{f}\left|J_{em}^{\mu}\left(x
ight)\right|p_{i}
ight
angle =\overline{u}_{p_{f}}\left[F_{1}\left(q^{2}\right)\gamma^{\mu}+F_{2}\left(q^{2}\right)rac{i\sigma^{\mu
u}q_{
u}}{2m}+F_{3}\left(q^{2}\right)q^{\mu}\right]u_{p_{i}}e^{iq\cdot x}$$

• Che l'interazione elettromagnetica a basso momento trasferito non sia sensibile alle interazioni forti è espresso dal fatto che

$$F_1(0) = 1$$

 La cancellazione degli effetti dovuti ai diagrammi di ordine superiore nella ridefinizione della carica elettrica (escluso la polarizzazione del vuoto) è una conseguenza della conservazione della corrente elettromagnetica

$$\partial_{\mu}J^{\mu}_{em}(x) = 0$$

Digressione: la corrente elettromagnetica

ullet La conservazione della corrente elettromagnetica implica anche che $F_3=0$

$$\partial_{\mu} \left\langle p_{f} \left| J_{em}^{\mu} \left(x \right) \right| p_{i} \right\rangle = 0 \qquad \qquad \partial_{\mu} \left\langle p_{f} \left| J_{em}^{\mu} \left(0 \right) \right| p_{i} \right\rangle e^{iq \cdot x} = q_{\mu} \left\langle p_{f} \left| J_{em}^{\mu} \left(0 \right) \right| p_{i} \right\rangle = 0$$

• Imponendo questa condizione sulla parametrizzazione

$$q_{\mu} \, \overline{u}_{p_{f}} \left[F_{1} \left(q^{2} \,
ight) \gamma^{\mu} \, + F_{2} \left(q^{2} \,
ight) rac{i \sigma^{\mu
u} q_{
u}}{2m} + F_{3} \left(q^{2} \,
ight) q^{\mu} \,
ight] u_{p_{i}} \, = \, 0$$

- Osserviamo che $q_{\mu}\gamma^{\mu}=p_f-p_i$
- Il primo termine diventa pertanto

$$\overline{u}_{p_f} \left(p_f - p_i \right) u_{p_i} = \overline{u}_{p_f} \left(m_p - m_p \right) u_{p_i} = 0$$

$$pu_p = mu_p$$

- Il secondo termine è nullo per l'antisimmetria di $\sigma^{\mu
 u}$
- Otteniamo in definitiva

$$q_{\mu} \, \overline{u}_{p_f} \, F_3 \left(q^2\right) q^{\mu} \, u_{p_i} = 0 \qquad q^2 \, F_3 \left(q^2\right) \overline{u}_{p_f} u_{p_i} = 0$$

$$q^2 F_3(q^2) \overline{u}_{p_f} u_{p_i} = 0$$



$$F_3\left(q^2\right) = 0$$

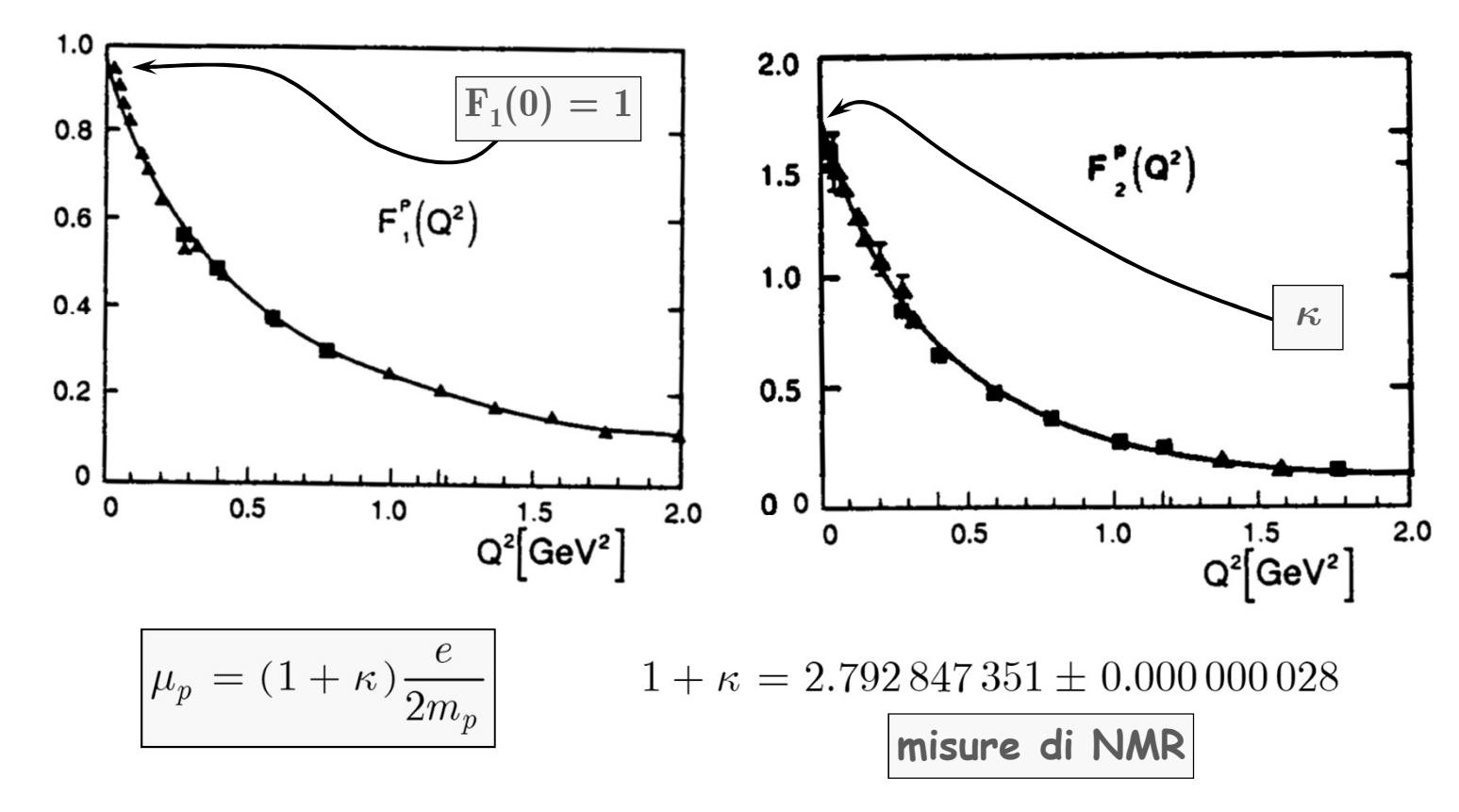
L'elemento di matrice della corrente elettromagnetica del protone è pertanto

$$\left\langle p_{f} \left| J_{em}^{\mu}\left(0\right) \right| p_{i} \right\rangle = \overline{u}_{p_{f}} \left[F_{1}\left(q^{2}\right) \gamma^{\mu} + F_{2}\left(q^{2}\right) \frac{i\sigma^{\mu\nu}q_{\nu}}{2m} \right] u_{p_{i}} \right]$$

• Gli esperimenti di scattering elastico $e \ p
ightarrow e \ p$ permettono di misurare i fattori di forma F_1 e F_2 in funzione del momento trasferito q^2

I Fattori di Forma del protone

- Alcuni risultati sui fattori di forma elettromagnetici
 - Le figure riportano i due fattori di forma del protone[†]



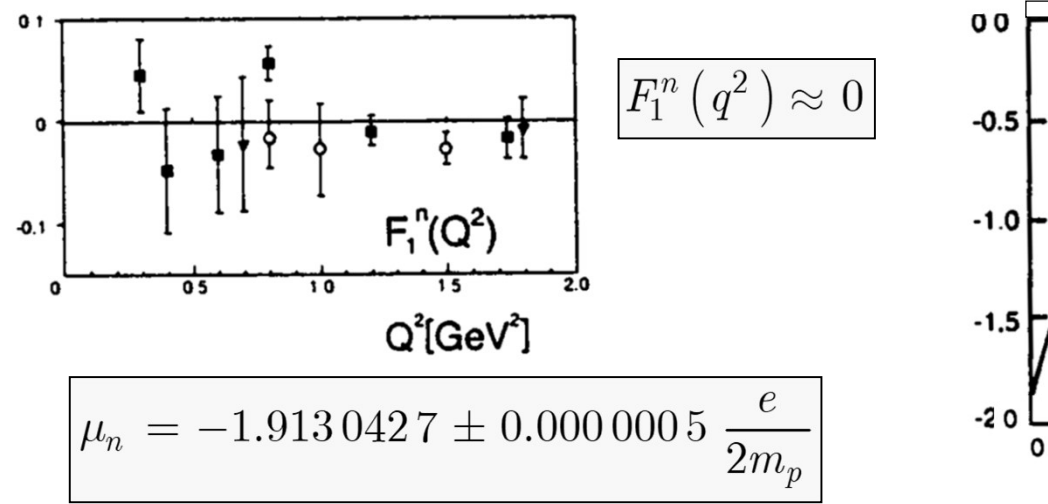
• † Borkowski et al Nucl. Phys. 93 (1975) p. 461
Thomas A., Weise W. – The structure of the nucleon p. 11-12 – John Wiley and Sons 2001

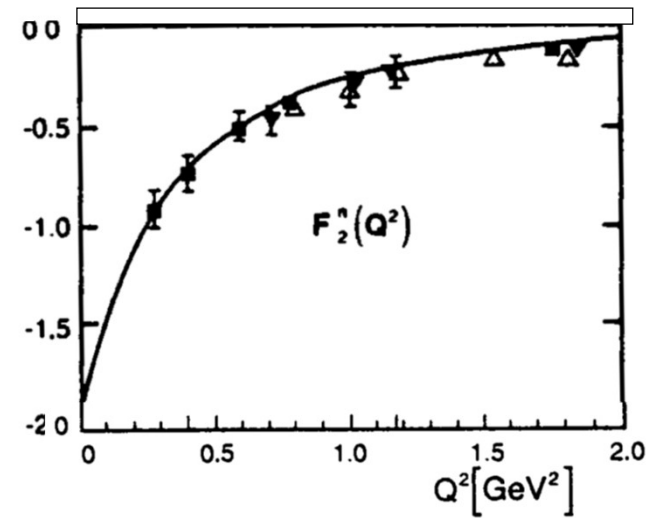
I Fattori di Forma del neutrone

• Una analisi analoga può essere fatta per il neutrone

$$\left\langle p_f \left| J_{em}^{\mu} \left(0 \right) \right| p_i \right\rangle = \overline{u}_{p_f} \left[F_1^n \left(q^2 \right) \gamma^{\mu} + F_2^n \left(q^2 \right) \frac{i \sigma^{\mu \nu} q_{\nu}}{2m} \right] u_{p_i}$$

• Le figure mostrano i risultati di esperimenti $e \ n \to e \ n$ che permettono di misurare i fattori di forma in funzione del momento trasferito q^2





- Misure dei Fattori di Forma del neutrone mostrano una complessa struttura di cariche e correnti
 - Il neutrone si comporta come se avesse un nucleo positivo e una superficie negativa (con la carica totale ovviamente nulla): $n o p + \pi^- o n$

Digressione: la corrente elettromagnetica

- Per una particella puntiforme che obbedisce all'equazione di Dirac
 - Il Fattore di Forma F_1 è costante (non dipende da q^2) ed è uguale a 1
 - Il Fattore di Forma F_2 è sempre nullo
- ullet Occorre tenere presente che il fattore F_2 rappresenta una interazione di momento magnetico aggiuntiva
 - La corrente vettoriale $\overline{u}_f \gamma^\mu u_i$ contiene già una interazione di tipo magnetico
 - Lo abbiamo visto nel limite di bassa energia
 - Lo si può vedere esplicitamente con la Scomposizione di Gordon della corrente vettoriale

$$\boxed{\overline{u}_{\!f} \gamma^{\mu} u_{\!i} \, = \frac{1}{2m} \, \overline{u}_{\!f} \, \Big[\Big(\, p_{\!f} \, + \, p_{\!i} \, \Big)^{\!\mu} \, + \, i \sigma^{\mu\nu} \, \Big(\, p_{\!f} \, - \, p_{\!i} \, \Big)_{\!\nu} \, \Big] u_{\!i}}$$

- ullet Dal momento che F_2 descrive una interazione di momento magnetico aggiuntiva viene detta "Momento Magnetico Anomalo"
 - In particolare il suo valore a momento trasferito nullo $\kappa = F_2(0)$
 - In alcuni articoli o testi si fa la sostituzione $F_2 o \kappa F_2$ con $F_2(0)=1$ e κ è il momento magnetico anomalo

Scomposizione di Gordon

• La scomposizione di Gordon mette in evidenza i due termini di interazione di una particella di Dirac

$$\overline{u_f} \gamma^\mu u_i = \frac{1}{2m} \overline{u_f} \Big[\Big(p_f + p_i \Big)^\mu + i \sigma^{\mu\nu} \left(p_f - p_i \right)_\nu \Big] u_i$$
 • L'interazione di una particella senza spin

- L'interazione dovuta al momento magnetico-
- Per dimostrare la relazione sviluppiamo il secondo termine

• Dalle regole di commutazione delle matrici γ^{μ}

$$\left\{ \gamma^{\mu}, \gamma^{\nu} \right\} = 2g^{\mu\nu} \quad \rightarrow \quad \gamma^{\mu}\gamma^{\nu} = 2g^{\mu\nu} - \gamma^{\nu}\gamma^{\mu}$$

Utilizzando la relazione per i due termini otteniamo

$$\overline{u}_f \sigma^{\mu\nu} \left(p_f - p_i \right)_{\nu} u_i = -im \overline{u}_f \gamma^{\mu} u_i + \frac{i}{2} \overline{u}_f \left(2g^{\mu\nu} p_{f\nu} - \gamma^{\nu} \gamma^{\mu} p_{f\nu} + 2g^{\mu\nu} p_{i\nu} - \gamma^{\mu} \gamma^{\nu} p_{i\nu} \right) u_i$$

Scomposizione di Gordon

$$\begin{split} \overline{u}_f \sigma^{\mu\nu} \left(\, p_f \, - \, p_i \, \right)_{\nu} \, u_i \, &= -i m \overline{u}_f \gamma^{\mu} u_i \, + \, \frac{i}{2} \, \overline{u}_f \left(2 g^{\mu\nu} \, p_{f\nu} \, - \, \gamma^{\nu} \gamma^{\mu} p_{f\nu} \, + \, 2 g^{\mu\nu} \, p_{i\nu} \, - \, \gamma^{\mu} \gamma^{\nu} \, p_{i\nu} \, \right) u_i \\ &= -i m \overline{u}_f \gamma^{\mu} u_i \, + \, \frac{i}{2} \, \overline{u}_f \left(2 p_f^{\mu} \, - \not p_f \gamma^{\mu} \, + \, 2 p_i^{\mu} \, - \, \gamma^{\mu} \not p_i \, \right) u_i \end{split}$$

Applicando ancora una volta l'equazione di Dirac otteniamo

$$\overline{u}_{\!f}\sigma^{\mu\nu}\left(\,p_{\!f}\,-\,p_{i}\,\right)_{\!\nu}u_{i}\,=-i2m\overline{u}_{\!f}\gamma^{\mu}u_{i}\,+\,i\overline{u}_{\!f}\left(\,p_{\!f}^{\mu}\,+\,p_{i}^{\mu}\,\right)u_{i}$$

• Ridisponendo i termini otteniamo la scomposizione di Gordon della corrente vettoriale

$$\overline{u}_f \gamma^\mu u_i = \frac{1}{2m} \overline{u}_f \Big[(p_f + p_i)^\mu + i \sigma^{\mu\nu} (p_f - p_i)_\nu \Big] u_i$$

- Osservazione:
 - Nel caso in cui i due spinori hanno lo stesso $(p=p_{\it i}=p_{\it f})$ la formula si riduce a

$$\overline{u}(p)\gamma^{\mu}u(p) = \frac{1}{2m}\overline{u}(p)\Big[(p+p)^{\mu} + i\sigma^{\mu\nu}(p-p)_{\nu}\Big]u(p) = \frac{p^{\mu}}{m}\overline{u}(p)u(p) = 2p^{\mu}$$

$$\overline{u}(p)\gamma^{\mu}u(p) = 2p^{\mu}$$

Corrente elettromagnetica e isospin

• Il formalismo precedente può essere unificato utilizzando gli isospinori Ψ per descrivere protoni e neutroni

$$\left|\Psi = \left(egin{array}{c} \psi_p \ \psi_n \end{array}
ight)$$

• Per il protone possiamo scrivere la corrente vettoriale come

$$j_p^{\mu} = \overline{\psi}_p \gamma^{\mu} \psi_p = \begin{pmatrix} \psi_p & \psi_n \end{pmatrix} \begin{pmatrix} 1 & 0 \\ 0 & 0 \end{pmatrix} \gamma^{\mu} \begin{pmatrix} \psi_p \\ \psi_n \end{pmatrix}$$

- ullet La matrice $2{ imes}2$ può essere riscritta utilizzando le matrici di Pauli au
- Otteniamo pertanto

$$\begin{pmatrix} 1 & 0 \\ 0 & 0 \end{pmatrix} = \frac{1+\tau_3}{2}$$

$$j_p^{\mu} = \overline{\Psi} \gamma^{\mu} \frac{1 + \tau_3}{2} \Psi$$

- Occorre tenere presente che gli operatori γ^μ e $(1+ au_3)/2$ operano in spazi differenti e quindi la loro posizione relativa non è essenziale
- Pertanto, nello spazio dell'isospin, la corrente del protone è la somma di due termini $j^\mu_n=j^\mu_S+j^\mu_3$
 - La corrente j_S^μ è un isoscalare

$$j_S^\mu = \overline{\Psi} \gamma^\mu 1 \Psi$$

• La corrente j_3^μ è la componente 3 dell'isovettore

$$\mathbf{j}_V^{\mu} = \frac{1}{2} \overline{\Psi} \gamma^{\mu} \vec{\boldsymbol{\tau}} \, \Psi$$

Corrente elettromagnetica e isospin

· Analogamente per il neutrone

$$j_n^{\mu} = j_S^{\mu} - j_3^{\mu}$$

Per tutte le correnti introdotte possiamo introdurre i fattori di forma

$$\left\langle p_{f}\left|j_{X}^{\mu}\left(0\right)\right|p_{i}\right\rangle =\overline{u}_{p_{f}}\left[F_{1}^{X}\left(q^{2}\right)\gamma^{\mu}+F_{2}^{X}\left(q^{2}\right)\frac{i\sigma^{\mu\nu}q_{\nu}}{2m}\right]Tu_{p_{i}}$$

- A seconda dei casi la corrente J_X , gli spinori u e la matrice T sono
 - Per X = n, p
 - La corrente J_X è un operatore nello spazio degli spinori $u_n,\ u_n$
 - La matrice T non è presente
 - Per X = S, V
 - La corrente J_X è anche un operatore nello spazio degli isospinori $\mathbf{u} = \begin{bmatrix} u_p \\ u_z \end{bmatrix}$
 - T è una delle due matrici 2×2
 - O la matrice identità I(S)
 - O la matrice au_3 (V)
- Si hanno ovviamente le seguenti relazioni

$$F_{1,2}^S = rac{1}{2}ig(F_{1,2}^{\,p} + F_{1,2}^{\,n}\,ig)\,igg|$$

$$F_{1,2}^V = rac{1}{2} (F_{1,2}^p - F_{1,2}^n)$$

Il Fattore di Forma del mesone π^{\pm}

- Richiamiamo alcuni risultati relativi al campo complesso $\widehat{\phi}$ soluzione della equazione di Klein-Gordon
 - Descrive una particella puntiforme di spin zero s^{\pm}
 - La corrente elettromagnetica è data da

$$\hat{j}_{em}^{\,\mu} = ie \Big[\hat{\phi}^{\dagger} \partial^{\mu} \hat{\phi} - \Big(\partial^{\mu} \hat{\phi}^{\dagger} \Big) \hat{\phi} \Big]$$

- Consideriamo adesso gli stati di particella singola $\left|s^+,p\right>=\sqrt{2E}\,\widehat{a}_p^\dagger\left|0\right>$
- Utilizzando l'espansione in operatori di creazione e distruzione per il campo $\widehat{\phi}$ è facile calcolare l'elemento di matrice della corrente elettromagnetica

$$\left\langle s^{+},p_{f}\mid\widehat{j}_{\mathrm{em}}^{\;\mu}\left(x\right)\mid s^{+}.p_{i}\right\rangle =e\left(p_{i}^{\mu}+p_{f}^{\mu}\right)e^{-i\left(p_{i}-p_{f}\right)\cdot x}$$

- Anche nel caso del mesone π l'interazione forte modifica l'elemento di matrice
- Considerazioni di invarianza relativistica portano a concludere che
 - L'elemento di matrice può dipendere solo dai 4-vettori p_i e p_f
 - ullet L'elemento di matrice contiene funzioni scalari (invarianti) della variabile q^2
 - Invece che i due 4-vettori p_i e p_f è conveniente utilizzare la loro somma e la loro differenza

$$q^{\mu} = p_i^{\mu} - p_f^{\mu}$$
 $P^{\mu} = p_i^{\mu} + p_f^{\mu}$

Il Fattore di Forma del π^{\pm}

• Pertanto l'elemento di matrice si può scrivere

$$\left\langle \pi^{+}, p_{f} \mid \widehat{j}_{\mathrm{em}}^{\mu}(x) \mid \pi^{+}.p_{i} \right\rangle = e \left[F_{\pi}(q^{2})P^{\mu} + G_{\pi}(q^{2})q^{\mu} \right] e^{-iq\cdot x}$$

• Una ulteriore semplificazione deriva dalla conservazione della corrente elettromagnetica

$$\partial_{\mu} \left\langle f \mid \widehat{j}_{\mathrm{em}}^{\,\mu}(x) \mid i \right\rangle = 0$$

• Osserviamo che l'elemento di matrice dipende da \overline{x} solo attraverso l'esponenziale e pertanto

$$\partial_{\mu} \left\langle f \mid \widehat{j}_{\mathrm{em}}^{\mu}(x) \mid i \right\rangle = 0 \rightarrow q_{\mu} \left\langle f \mid \widehat{j}_{\mathrm{em}}^{\mu}(x) \mid i \right\rangle = 0$$

Sostituendo

$$F_{\pi}(q^2)q_{\mu}P^{\mu} + G_{\pi}(q^2)q_{\mu}q^{\mu} = 0$$

• Si verifica facilmente che $q_{\mu}P^{\mu}=0$ e quindi

$$q^2 G_{\pi}(q^2) = 0$$
 $G_{\pi}(q^2) = 0$

In definitiva otteniamo

$$\left| \left\langle \pi^+, p_f \mid \widehat{j}_{\rm em}^{\,\mu}(x) \mid \pi^+.p_i \right. \right\rangle = e F_\pi(q^2) (p_i^\mu + p_f^\mu) e^{-iq \cdot x}$$

- La funzione $F_\pi(q^2)$ è il fattore di forma elettromagnetico del pione
 - Per una particella scalare puntiforme $F_s(q^2)=1$

$$\left\langle s^+, p_f \mid \widehat{j}_{\mathrm{em}}^{\,\mu}(x) \mid s^+.p_i^{\,} \right\rangle = e(p_i^\mu + p_f^\mu)e^{-iq\cdot x}$$

Il Fattore di Forma del π^{\pm}

- Il fattore di forma del π^+ si può misurare in vari modi
 - Mediante la fotoproduzione di pioni con fotoni reali o virtuali

$$e^- p \rightarrow e^- n \pi^+$$

Mediante lo scattering di pioni su elettroni

$$\pi^-e^- \rightarrow \pi^-e^-$$

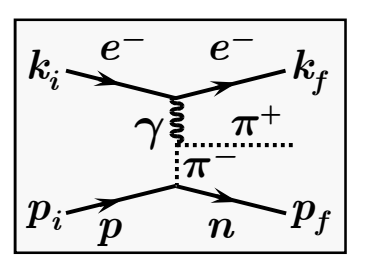
• Calcoliamo il momento trasferito q^2

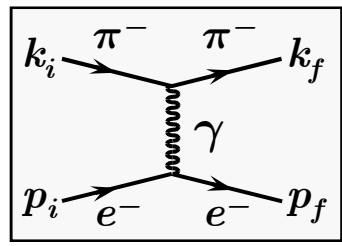
$$q^2 = (k_i - k_f)^2 = m_\pi^2 + m_\pi^2 - 2E_i E_f + 2\mathbf{p}_i \cdot \mathbf{p}_f$$

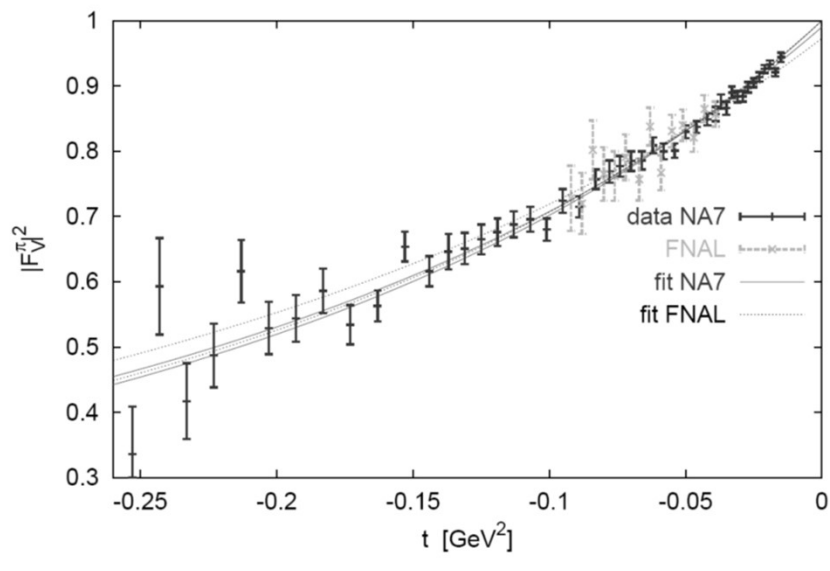
- In queste reazioni il momento trasferito è sempre negativo
 - Si dice che q^2 è space-like
- Il valore massimo $q^2=0$ si ha per $\mathbf{p}_i = \mathbf{p}_f$

- · La figura mostra la compilazione dei dati di due esperimenti
 - I risultati sono compatibili con

$$F_{\pi}(0) = 1$$







La corrente debole adronica

- Da quanto fin qui esposto, in particolare richiamiamo la diapositiva 482, risulta evidente che la componente vettoriale della corrente debole adronica ha molte analogie con la componente isovettoriale della corrente elettromagnetica
 - Entrambe le correnti sono "insensibili" alle correzioni radiative forti
 - Il fattore di forma relativo tende a 1 per $q^2
 ightarrow 0$
 - È possibile che anche la componente vettoriale della corrente debole sia conservata
- Queste analogie risultano implicite se si fanno le seguenti assunzioni
 - Il nucleone è descritto da un campo isospinoriale
 - ullet La teoria $\dot{f e}$ invariante per trasformazioni globali di isospin ${
 m SU}(2)$
 - Esistono 3 correnti conservate $J_1,\,J_2,\,J_3$
 - Alle 3 correnti corrispondono 3 cariche $T_1,\ T_2,\ T_3$
 - La componente isovettoriale della corrente adronica elettromagnetica è la corrente J_3

$$j_V^{\alpha} = J_3^{\alpha}$$

• La componente vettoriale della corrente debole adronica è la corrente $J_1\,+\,iJ_2$

$$J^{\dagger \alpha} = J_1^{\alpha} + iJ_2^{\alpha}$$

- Questa ipotesi fu proposta da Gell-Mann e Feynman e prende il nome di
- Conserved Vector Current o, in breve, CVC

• Come applicazione della ipotesi CVC calcoliamo la larghezza del decadimento

$$\pi^- \to \pi^0 \, e^- \, \overline{\nu}_e$$

$$\boxed{\pi^- \to \pi^0 \, e^- \, \overline{\nu}_e} \qquad \qquad \frac{\Gamma_{\pi^- \to \pi^0 \, e^- \, \overline{\nu}_e}}{\Gamma_{\pi^- \to all}} = 1.036 \times 10^{-8}$$

- È un decadimento raro dato il piccolo volume dello spazio delle fasi dovuto al piccolo Q valore del decadimento
- ullet $\dot{\mathsf{E}}$ tuttavia molto interessante perché consente una verifica della CVC
- L'ampiezza del decadimento è data da

$$\mathfrak{M} = \frac{G}{\sqrt{2}} \langle \pi^0 \mid J_+^{\mu} \mid \pi^- \rangle \overline{u}_e \gamma_{\mu} (1 - \gamma^5) v_{\nu}$$

- Dobbiamo calcolare l'elemento di matrice adronico
- Innanzitutto, per l'invarianza relativistica, l'elemento di matrice può dipendere solo dai 4-vettori p_i e p_f

$$\langle \pi^0 | J_+^{\mu} | \pi^- \rangle = a p_i^{\mu} + b p_f^{\mu}$$

Sappiamo inoltre che la corrente ha una parte polare e una assiale

$$\langle \pi^0 \mid J_+^{\mu} \mid \pi^- \rangle = \langle \pi^0 \mid V_+^{\mu} \mid \pi^- \rangle + \langle \pi^0 \mid A_+^{\mu} \mid \pi^- \rangle$$

• Evidentemente solo V^μ si comporta come un vettore polare $\left\langle \pi^0 \mid A_+^\mu \mid \pi^-
ight
angle = 0$

- Dimostriamo formalmente che solo la parte vettoriale V^+ della corrente ha le corrette proprietà di trasformazione per contribuire all'elemento di matrice
 - Consideriamo le proprietà di trasformazione per inversione spaziale $\mathbb P$ (ricordiamo che $\mathbb P^{-1}=\mathbb P$ e $\mathbb P|\pi,p>=-|\pi,-p>)$
 - Per la componente temporale abbiamo $\left\langle \pi^0, \mathbf{p}_f \mid V_+^0 \mid \pi^-, \mathbf{p}_i \right\rangle = \left\langle \pi^0, \mathbf{p}_f \mid \mathbb{PP} \, V_+^0 \mathbb{PP} \mid \pi^-, \mathbf{p}_i \right\rangle = \left\langle \pi^0, -\mathbf{p}_f \mid V_+^0 \mid \pi^-, -\mathbf{p}_i \right\rangle$

$$\boxed{\mathbb{P}\,V_+^0\mathbb{P}=V_+^0}$$

• Per la componente spaziale

$$\langle \pi^0, \mathbf{p}_f \mid \mathbf{V}_+ \mid \pi^-, \mathbf{p}_i \rangle = -\langle \pi^0, -\mathbf{p}_f \mid \mathbf{V}_+ \mid \pi^-, -\mathbf{p}_i \rangle$$

$$oxed{\mathbb{P} \mathbf{V}_{\!+} \mathbb{P} = - \mathbf{V}_{\!+}}$$

• In modo analogo per la parte assiale dell'elemento di matrice si ottiene

$$egin{aligned} \left\langle \pi^0, \mathbf{p}_f \mid A_+^0 \mid \pi^-, \mathbf{p}_i \right\rangle &= -\left\langle \pi^0, -\mathbf{p}_f \mid A_+^0 \mid \pi^-, -\mathbf{p}_i \right\rangle \\ \left\langle \pi^0, \mathbf{p}_f \mid \mathbf{A}_+ \mid \pi^-, \mathbf{p}_i \right\rangle &= \left\langle \pi^0, -\mathbf{p}_f \mid \mathbf{A}_+ \mid \pi^-, -\mathbf{p}_i \right\rangle \end{aligned}$$

$$\boxed{\mathbb{P}A_{+}^{0}\mathbb{P} = -A_{+}^{0}}$$

$$\left|\mathbb{P}\mathbf{A}_{+}\mathbb{P}_{-}^{2}\mathbf{A}_{+}^{2}\right|$$

• Nella diapositiva precedente abbiamo visto che per motivi di invarianza

$$\left| \left\langle \pi^0 \mid J_+^\mu \mid \pi^- \right\rangle = a p_i^\mu + b p_f^\mu \right|$$

- Solo l'elemento di matrice vettoriale si comporta come un 4-vettore
- Analogamente si potrebbe dimostrare che per $\pi^- o \mu^- \, \overline{
 u}_\mu$ contribuisce solo A_+

• Utilizziamo adesso l'ipotesi CVC per calcolare l'elemento di matrice

$$\langle \pi^0 \mid J_+^\mu \mid \pi^- \rangle = \langle \pi^0 \mid V_+^\mu \mid \pi^- \rangle$$

- L'ipotesi CVC consiste nell'assumere che le correnti deboli cariche e la corrente elettromagnetica siano le tre correnti di isospin $V_1,\ V_2,\ V_3$
- In particolare
 - ullet La componente isovettoriale della corrente elettromagnetica è $\,V_3\,$
- Nella diapositiva 474 (con l'identificazione J=V) abbiamo visto che le cariche J e le correnti V_i soddisfano le seguenti regole di commutazione
 - In particolare

$$[T_l, V_m^{\mu}] = i\varepsilon_{lmk} V_k^{\mu}$$

$$[T_1, V_3] = i\varepsilon_{132}V_2 = -iV_2$$
 $[T_2, V_3] = i\varepsilon_{231}V_1 = iV_1$

• Dalle due relazioni precedenti si ottiene

$$[T_1, V_3] + i[T_2, V_3] = -iV_2 - V_1 = -V_+ = [T_1 + iT_2, V_3] = [T_+, V_3]$$

In conclusione

$$[V_3, T_+] = V_+$$

$$[V_3,T_+]=V_+$$

- Questa regola ci permette di trovare una relazione fra
 - L'elemento di matrice del decadimento eta del π^-
 - L'elemento di matrice della corrente elettromagnetica del π^-
- Il π^- e il π^0 sono due autostati $\mid T, \; T_3>$ dell'isospin

$$|\pi^-\rangle = |1, -1\rangle$$
 $|\pi^0\rangle = |1, 0\rangle$

Otteniamo pertanto

$$\langle \pi^{0} \mid V_{+}^{\mu} \mid \pi^{-} \rangle = \langle 1, 0 \mid V_{+}^{\mu} \mid 1, -1 \rangle = \langle 1, 0 \mid [V_{3}, T_{+}] \mid 1, -1 \rangle$$

$$= \langle 1, 0 \mid V_{3}T_{+} - T_{+}V_{3} \mid 1, -1 \rangle = \langle 1, 0 \mid V_{3}T_{+} \mid 1, -1 \rangle - \langle 1, 0 \mid T_{+}V_{3} \mid 1, -1 \rangle$$

• Sfruttiamo le proprietà degli operatori di innalzamento e abbassamento

$$T_{+} |T, T_{3}\rangle = \sqrt{(T - T_{3})(T + T_{3} + 1)} |T, T_{3} + 1\rangle \qquad T_{+} |1, -1\rangle = \sqrt{2} |1, 0\rangle$$

$$T_{-} |T, T_{3}\rangle = \sqrt{(T + T_{3})(T - T_{3} + 1)} |T, T_{3} - 1\rangle \qquad T_{-} |1, 0\rangle = \sqrt{2} |1, -1\rangle$$

• Introducendo nell'elemento di matrice

$$\langle 1,0 \mid V_3 T_+ \mid 1,-1 \rangle - \langle 1,0 \mid T_+ V_3 \mid 1,-1 \rangle = \sqrt{2} \langle 1,0 \mid V_3 \mid 1,0 \rangle - \sqrt{2} \langle 1,-1 \mid V_3 \mid 1,-1 \rangle$$

• Utilizzando l'ipotesi CVC abbiamo pertanto ottenuto

$$\langle \pi^0 \mid V_+^{\mu} \mid \pi^- \rangle = \sqrt{2} \langle \pi^0 \mid V_3 \mid \pi^0 \rangle - \sqrt{2} \langle \pi^- \mid V_3 \mid \pi^- \rangle$$

- Ricordiamo inoltre che l'ipotesi CVC identifica V_3 con la corrente elettromagnetica j_{em}
 - Un'ultima semplificazione si ottiene dalla proprietà della corrente elettromagnetica rispetto all'operatore di coniugazione di carica $C=C^{-1}=C^\dagger$

$$C^{-1}j_{\rm em}^{\mu}C = -j_{\rm em}^{\mu}$$

- Questa relazione dice semplicemente che il segno del campo elettromagnetico dipende dal segno della carica elettrica della particella
- Inoltre il π^0 è un autostato di C con autovalore +1 $C|\pi^0>=+|\pi^0>$
 - Otteniamo pertanto

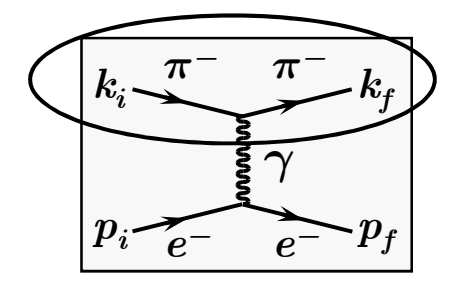
$$\left\langle \pi^0 \mid j_{\text{em}}^{\mu} \mid \pi^0 \right\rangle = \left\langle \pi^0 \mid C^{\dagger} j_{\text{em}}^{\mu} C \mid \pi^0 \right\rangle = -\left\langle \pi^0 \mid j_{\text{em}}^{\mu} \mid \pi^0 \right\rangle$$

• Da cui

$$\left\langle \pi^0 \mid j_{\rm em}^{\mu} \mid \pi^0 \right\rangle = 0$$

• Pertanto l'elemento di matrice del decadimento eta del π^- è

$$\left| \left\langle \pi^0 \mid V_+^{\mu} \mid \pi^- \right\rangle = -\sqrt{2} \left\langle \pi^- \mid j_{\text{em}}^{\mu} \mid \pi^- \right\rangle \right|$$



$$\left| \left\langle \pi^0 \mid V_+^{\mu} \mid \pi^- \right\rangle = -\sqrt{2} \left\langle \pi^- \mid j_{\text{em}}^{\mu} \mid \pi^- \right\rangle \right|$$

· Pertanto che l'elemento di matrice adronico della corrente debole può essere calcolato a partire dall'elemento di matrice della corrente elettromagnetica

$$\left\langle \pi^{\pm}, p_{f} \mid j_{\text{em}}^{\mu}(0) \mid \pi^{\pm}.p_{i} \right\rangle = F_{\pi}\left(q^{2}\right)\left(p_{i}^{\mu} + p_{f}^{\mu}\right)$$

ullet Il Q valore del decadimento è molto piccolo

$$Q = m_{\pi^-} - m_{\pi^0} - m_e = 139.570 - 134.977 - 0.511 = 4.082 \text{ MeV}$$

• La massima quantità di moto è di appena 4 MeV

$$\mathbf{p}_i = \mathbf{0}$$

$$q_{\max}^2 = m_{\pi^-}^2 + m_{\pi^0}^2 - 2E_i E_f + 2\mathbf{p}_i \cdot \mathbf{p}_f = m_{\pi^-}^2 + m_{\pi^0}^2 - 2m_{\pi^-} E_{\pi^0}$$

• Introducendo i valori numerici vediamo che $~q^2 pprox \left(\,m_{\pi^-} - m_{\pi^0}\,
ight)^2$

$$E_{\pi^0} \, pprox \, m_{\pi^0}$$

$$q_{\rm max}^2 = 4.626\,{
m MeV^2} = 4.626 \times 10^{-6}\,{
m GeV^2} \simeq 0$$

• È possibile pertanto trascurare la dipendenza da q^2 e assumere $F_\pi(q^2)=1$

Pertanto

$$\left\langle \pi^0 \mid V_+^\mu \mid \pi^- \right\rangle = - \sqrt{2} \left(\, p_i^\mu \, + \, p_f^\mu \, \right) \label{eq:power_power}$$

Il calcolo è a questo punto semplice ed è lasciato come esercizio

$$\Gamma_{\pi^0 e
u} \, = rac{G_eta^2}{30 \pi^3} (\, m_{\pi^-} \, - m_{\pi^0} \,)^5$$

$$oxed{ \Gamma_{\pi^0 e
u} = rac{G_eta^2}{30 \pi^3} (m_{\pi^-} - m_{\pi^0}\,)^5 } \quad ext{da confrontare con} \quad \Gamma_{l
u} = rac{G_eta^2}{8 \pi} f_\pi^2 m_l^2 m_\pi iggl(1 - rac{m_l^2}{m_\pi^2} iggr)^2 }{2 \pi^2 m_\ell^2 m_\pi^2} \, .$$

Il decadimento β del neutrone

- Con lo stesso procedimento nel caso del decadimento eta del neutrone si può verificare la relazione fra
 - La parte vettoriale dell'elemento di matrice della corrente carica
 - La parte isovettoriale della corrente elettromagnetica
- Infatti per l'ipotesi CVC

$$\langle p \mid J_{+}^{\mu} \mid n \rangle = \langle p \mid V_{+}^{\mu} \mid n \rangle = \langle \frac{1}{2}, \frac{1}{2} \mid V_{+}^{\mu} \mid \frac{1}{2}, -\frac{1}{2} \rangle$$

Utilizzando il commutatore

$$\boxed{[V_3, T_+] = V_+}$$

Otteniamo

$$\left\langle \frac{1}{2}, \frac{1}{2} \mid V_{+}^{\mu} \mid \frac{1}{2}, -\frac{1}{2} \right\rangle = \left\langle \frac{1}{2}, \frac{1}{2} \mid V_{3}T_{+} - T_{+}V_{3} \mid \frac{1}{2}, -\frac{1}{2} \right\rangle$$

• Per le proprietà di $T_{\scriptscriptstyle +}$ e $T_{\scriptscriptstyle -}$

$$T_+\left|\frac{1}{2},-\frac{1}{2}\right\rangle = \left|\frac{1}{2},+\frac{1}{2}\right\rangle \qquad T_-\left|\frac{1}{2},\frac{1}{2}\right\rangle = \left|\frac{1}{2},-\frac{1}{2}\right\rangle$$

• Introduciamo nell'elemento di matrice

$$\left\langle \frac{1}{2}, \frac{1}{2} \mid V_{+}^{\mu} \mid \frac{1}{2}, -\frac{1}{2} \right\rangle = \left\langle \frac{1}{2}, \frac{1}{2} \mid V_{3} \mid \frac{1}{2}, \frac{1}{2} \right\rangle - \left\langle \frac{1}{2}, -\frac{1}{2} \mid V_{3} \mid \frac{1}{2}, -\frac{1}{2} \right\rangle$$

• Abbiamo pertanto la relazione fra l'elemento di matrice del decadimento eta e quello della corrente isovettoriale elettromagnetica

$$\left\langle \left. p \mid V_{+}^{\mu} \mid n \right. \right\rangle = \left\langle \left. p \mid j_{\mathrm{em}}^{\mu} \mid p \right. \right\rangle - \left\langle \left. n \mid j_{\mathrm{em}}^{\mu} \mid n \right. \right\rangle$$

Decadimenti con variazione di S

• Abbiamo già notato (diapositiva <u>468</u>) che la corrente debole adronica ha una parte che non conserva la stranezza (che ha una parte polare e una assiale)

$$h^{\alpha}_{\Lambda S \neq 0} \equiv S^{\dagger \alpha}$$

- Bisogna comunque sottolineare che non tutti i decadimenti che coinvolgono particelle strane sono dovuti alla corrente $S^{\dagger \alpha}$
 - Ad esempio il seguente decadimento è indotto dalla corrente $h^{lpha}_{\Delta S=0}\equiv J^{\dagger\,lpha}$ $\Sigma^{\pm} o \Lambda^0 + e^{\pm} + \overline{
 u}_e \left(
 u_e
 ight)$
- La prima regola di selezione relativa alla corrente $\Delta S
 eq 0$ è $|\Delta S| = 1$
 - Questa regola empirica è fortemente supportata dalla non esistenza del decadimento altrimenti favorito per spazio delle fasi

$$\Xi^- \to n \, \pi^ Q = 1321.71 - 939.56 - 139.57 = 242.58$$

- Questo decadimento avrebbe una variazione $|\Delta S|=2$: mai osservato
- La seconda regola di selezione è $\Delta S = \Delta \, Q$
 - Questa regola impone una correlazione fra i segni delle variazioni della carica elettrica e della stranezza del sistema adronico
- La base empirica è ancora una volta la non osservazione di decadimenti altrimenti permessi e favoriti dallo spazio delle fasi

$$\Sigma^+ \to n + e^+ (\mu^+) + \nu_e (\nu_\mu)$$
 $\Delta Q = -1$ $\Delta S = +1$





Decadimenti con variazione di S

- ullet La regola di selezione $\Delta S = \Delta \, Q$ spiega anche perché
 - Esiste il decadimento $K^0 o \pi^- + e^+ +
 u_e \qquad \Delta Q = -1 \qquad \Delta S = -1$
 - Non esiste il decadimento $K^0
 ightarrow \pi^+ + e^- + \overline{
 u}_e$ $\Delta Q = +1$ $\Delta S = -1$
 - ullet E analogamente per i decadimenti del mesone $\overline{K^0}$
- ullet La regola di selezione $\Delta S = \Delta \, Q$ può essere facilmente compresa nell'ambito del modello a quark
 - Un adrone è composto da guark
 - Un mesone da una coppia quark-antiquark
 - Un barione da tre quark
- Ad esempio, il decadimento $\Lambda^0 o p \; \pi^-$
 - Il quark s $(S=-1,\,q=-1/3)$ si trasforma in un quark u $(S=0,\,q=+2/3)$
 - ullet La trasformazione $\,$ di un quark $\,s\,$ in quark $\,u\,$ porta a variazioni correlate di stranezza e carica elettrica

$$\Delta S = S_u - S_s = 0 - (-1) = +1$$

$$\Delta S = S_u - S_s = 0 - (-1) = +1$$
 $\Delta Q = q_u - q_s = \frac{2}{3} - \left(-\frac{1}{3}\right) = +1$

· L'assenza dei decadimenti proibiti è facilmente compresa considerando la composizione degli adroni in termini di quark

$$\Sigma^+ = (uus) \qquad n = (udd)$$

 $\Sigma^+ = (uus)$ n = (udd) la transizione $s \to u$ non porta al neutrone

$$K^0 = (d\overline{s}) \quad \pi^+ = (u\overline{d}) \quad \pi^- = (\overline{u}d)$$

 $K^0=(d\overline{s})$ $\pi^+=ig(u\overline{d}ig)$ $\pi^-=(\overline{u}d)$ la transizione $\overline{s} o\overline{u}$ porta solo al mesone π^-

Decadimenti con variazione di S

ullet Il processo più semplice da calcolare $\dot{f e}$ il decadimento del mesone K^-

$$K^- \to \mu^- + \overline{\nu}_{\mu}$$

- È un decadimento analogo al decadimento del mesone $\pi\colon \pi^- o \mu^-\, \overline{
 u}_\mu$
 - Poichè c'è variazione di stranezza l'elemento di matrice adronico è

$$\langle 0 \mid S^{\mu} \mid K^{-} \rangle$$

- Come nel caso del decadimento del pione l'elemento di matrice è diverso da zero solo per la parte assiale
- Un calcolo analogo a quanto fatto per il π^- porta al risultato

$$\Gamma_{K^- \to \mu^- \overline{\nu}_{\mu}} = a^2 \frac{G^2 f_K^2}{8\pi} \frac{m_{\mu}^2}{m_K^3} (m_K^2 - m_{\mu}^2)^2$$

- La costante a è stata inserita perchè le misure sperimentali mostrano che per riprodurre il risultato occorrerebbe utilizzare una costante G più piccola $(a \approx 0.22)$
- La differenza fra la costante di accoppiamento fra le transizioni senza e con variazione di stranezza portò Cabibbo a ipotizzare che la corrente adronica fosse così composta

$$h_{\mu}^{+}(x) = J_{\mu}^{+}(x)\cos\theta_{c} + S_{\mu}^{+}(x)\sin\theta_{c}$$

• $heta_{
m c}$ è l'angolo di Cabibbo ($heta_{
m c} pprox 13^{
m o}$)

L'angolo di Cabibbo

- La presenza di $\cos heta_{
 m c}$ nella corrente $\Delta S=0$ spiega la differenza fra
 - ullet La costante di accoppiamento ricavata dal decadimento del μ
 - · La costante di accoppiamento ricavata dal decadimento del neutrone
 - $\cos 13^{\circ} = 0.974$
 - L'ipotesi di Cabibbo permette di recuperare il concetto di universalità messo in crisi dalla differenza relativamente grande fra l'intensità dei decadimenti con $\Delta S=0$ e $|\Delta S|=1$
- Le interazioni deboli di corrente carica possono essere descritte da correnti deboli (cariche) dei quark
 - Ad esempio, per il decadimento β del neutrone ($d \to u$) $J^{+\mu} = \overline{u} \gamma^{\mu} \left(1 \gamma^{5}\right) d$
 - Per il decadimento di una particella strana (s o u) $S^{+\mu}=\overline{u}\gamma^{\mu}\left(1-\gamma^{5}\right)s$
- ullet L'ipotesi di Cabibbo si può esprimere dicendo che i quark d e s sono "mescolati"
 - I campi d e s sono sostituiti dai campi d' e s'

$$d' = \cos \theta_c d + \sin \theta_c s$$
 $s' = -\sin \theta_c d + \cos \theta_c s$

• Le correnti deboli J^{μ} e S^{μ} sono sostituite dalla corrente

$$\overline{u}\gamma^{\mu}\left(1-\gamma^{5}\right)d' = \cos\theta_{c}\overline{u}\gamma^{\mu}\left(1-\gamma^{5}\right)d + \sin\theta_{c}\overline{u}\gamma^{\mu}\left(1-\gamma^{5}\right)s$$

ullet La combinazione ortogonale s' compare in una analoga corrente con il quark c



The Eightfold Way

- La proliferazione di particelle "elementari" stimolò l'elaborazione di teorie per classificare gli stati osservati
 - La teoria di maggiore successo fu la "Eightfold Way" di Gell-Mann†
- Le ipotesi di Gell-Mann erano:
 - Gli 8 Barioni noti (in quegli anni ...) formano un super-multipletto che generalizza i multipletti di isospin
 - La simmetria alla base di questa associazione è una generalizzazione della simmetria unitaria dell'isospin
 - Tutti i membri di un supermultipletto dovrebbero avere la stessa massa
 - In natura la simmetria è rotta
 - I barioni sono classificati secondo una rappresentazione 8-dimensionale del gruppo $\mathrm{SU}(3)$
- Anche i mesoni pseudoscalari vengono inseriti in un ottetto con la predizione di un ulteriore singoletto di isospin
- Per arrivare a questa classificazione studiamo il gruppo $\mathrm{SU}(3)$
 - Preliminarmente alcune definizioni sui gruppi unitari
- †Murray Gell-Man "The Eightfold Way: A Theory Of Strong Interaction Simmetry" -Report non pubblicato Caltech CTSL-20, 1961



Gruppi SU(N)

- Per definizione il gruppo $\mathrm{U}(N)$ è il gruppo delle matrici unitarie $N\!\! imes\!N$ $(=n\!\! imes\!n)$
 - Una generica matrice $n{ imes}n$ del gruppo $\mathrm{U}(N)$ soddisfa pertanto la relazione

$$UU^{\dagger} = I$$

- L'equazione precedente implica $n \times n$ relazioni fra gli $n \times n$ elementi di matrice
- Inoltre U è una matrice complessa $n \times n$ e ha pertanto $2 \times n \times n$ parametri reali
 - Pertanto dei $2 \times n \times n$ parametri reali solo $2 \times n \times n n \times n = n \times n$ sono indipendenti
- Il gruppo $\mathrm{SU}(N)$ è il sottogruppo di $\mathrm{U}(N)$ delle matrici con determinante =1
 - ullet La richiesta che il determinante sia 1 riduce di un'altra unità il numero dei parametri indipendenti
- Pertanto i parametri indipendenti dei due gruppi più importanti per la fisica delle particelle sono
 - SU(2) 3 parametri reali
 - SU(3) 8 parametri reali
- Veniamo alle rappresentazioni:
 - ullet Una rappresentazione è un omomorfismo di un gruppo con un gruppo di matrici definite su uno spazio vettoriale di dimensione n
 - I fisici spesso chiamano rappresentazione i vettori dello spazio vettoriale

Gruppi SU(N)

- ullet Tutti i gruppi hanno una rappresentazione banale di dimensione uno che corrisponde all'elemento 1
- La dimensione della rappresentazione di dimensione più piccola successiva dipende dal gruppo
- Si introduce inoltre la rappresentazione coniugata
 - Se la rappresentazione è costituita dalle matrici M allora la rappresentazione coniugata è costituita dalle matrici $M^{\,*}$
 - Ricordiamo che l'operazione di aggiunto e di coniugazione complessa, in teoria di campi quantistici, fa passare dalle particelle alle antiparticelle
- Le rappresentazioni non banali di dimensione più piccola per i gruppi $\mathrm{SU}(2)$ e $\mathrm{SU}(3)$ sono
 - $\mathrm{SU}(2)$: è realizzata su uno spazio vettoriale di dimensione 2
 - La rappresentazione coniugata delle matrici M^st coincide la rappresentazione normale
 - ullet Esiste una trasformazione unitaria che trasforma le matrici M in M^*
 - Una sola rappresentazione: 2
 - $\mathrm{SU}(3)$: è realizzata su uno spazio vettoriale di dimensione 3
 - La rappresentazione coniugata delle matrici M^st non coincide con la rappresentazione normale
 - Due rappresentazioni: $3 \in \overline{3}$



The Eightfold Way

- Ritorniamo al modello a quark di Gell-Mann
 - Gell-Mann ipotizzò che i tre quark $(u,\,d,\,s)$ fossero una base della rappresentazione 3 del gruppo $\mathrm{SU}(3)$
- Si tratta di un gruppo di operatori unitari
 - Utilizzando i generatori λ_n una generica matrice di questo gruppo può essere rappresentata come

$$\widehat{U} = \exp\left[i\sum_{n=1}^{8} \alpha_n \widehat{\lambda}_n\right]$$

- Abbiamo visto che il gruppo dipende da 8 parametri reali: 8 generatori
 - ullet Le matrici λ_n soddisfano le seguenti regole di commutazione

$$\left[\left[\widehat{\lambda_{i}},\widehat{\lambda_{j}}
ight]=2\mathit{if}_{\mathit{ijk}}\widehat{\lambda_{k}}
ight]$$

- ullet Le grandezze f_{ijk} sono le costanti di struttura del gruppo
 - f_{ijk} è totalmente antisimmetrico
 - Gli elementi diversi da zero sono

| ijk | f_{ijk} | ijk | f_{ijk} | ijk | f_{ijk} |
|-----|----------------|-----|---------------|-----|----------------------|
| 123 | 1 | 246 | $\frac{1}{2}$ | 367 | $-\frac{1}{2}$ |
| 147 | $\frac{1}{2}$ | 257 | $\frac{1}{2}$ | 458 | $\frac{\sqrt{3}}{2}$ |
| 156 | $-\frac{1}{2}$ | 345 | $\frac{1}{2}$ | 678 | $\frac{\sqrt{3}}{2}$ |

La rappresentazione 3 di SU(3)

• Le 8 matrici della rappresentazione 3 (matrici di Gell-Mann) sono

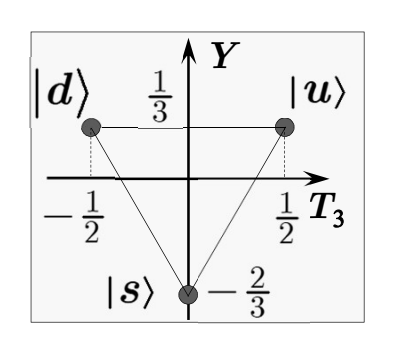
$$\begin{split} \lambda_1 &= \begin{pmatrix} 0 & 1 & 0 \\ 1 & 0 & 0 \\ 0 & 0 & 0 \end{pmatrix} \ \lambda_2 = \begin{pmatrix} 0 & -i & 0 \\ i & 0 & 0 \\ 0 & 0 & 0 \end{pmatrix} \ \lambda_3 = \begin{pmatrix} 1 & 0 & 0 \\ 0 & -1 & 0 \\ 0 & 0 & 0 \end{pmatrix} \quad \lambda_4 = \begin{pmatrix} 0 & 0 & 1 \\ 0 & 0 & 0 \\ 1 & 0 & 0 \end{pmatrix} \ \lambda_5 = \begin{pmatrix} 0 & 0 & -i \\ 0 & 0 & 0 \\ i & 0 & 0 \end{pmatrix} \ \lambda_6 = \begin{pmatrix} 0 & 0 & 0 \\ 0 & 0 & 1 \\ 0 & 1 & 0 \end{pmatrix} \\ \lambda_7 &= \begin{pmatrix} 0 & 0 & 0 \\ 0 & 0 & -i \\ 0 & i & 0 \end{pmatrix} \quad \lambda_8 = \frac{1}{\sqrt{3}} \begin{pmatrix} 1 & 0 & 0 \\ 0 & 1 & 0 \\ 0 & 0 & -2 \end{pmatrix} \end{split}$$

- Evidentemente gli operatori λ_3 e λ_8 commutano fra di loro (sono diagonali)
- Per motivi che saranno evidenti fra poco si definiscono gli operatori

$$Y = \frac{1}{\sqrt{3}}\lambda_8 \qquad T_3 = \frac{1}{2}\lambda_3 \quad T_3 = \frac{1}{2} \begin{pmatrix} 1 & 0 & 0 \\ 0 & -1 & 0 \\ 0 & 0 & 0 \end{pmatrix} \quad Y = \frac{1}{3} \begin{pmatrix} 1 & 0 & 0 \\ 0 & 1 & 0 \\ 0 & 0 & -2 \end{pmatrix}$$

- ullet Gli operatori T_3 e Y sono già in forma diagonale
- Analizziamo il loro comportamento sulla base standard

• Rappresentiamo sul piano $Y-T_3$ i 3 stati



La rappresentazione 3 di SU(3)

Analogamente studiamo la rappresentazione coniugata in cui generatori sono

$$\widehat{U} = \exp\left[i\sum_{n=1}^{8} \alpha_n \widehat{\lambda}_n\right] \to \widehat{U}^* = \exp\left[-i\sum_{n=1}^{8} \alpha_n \widehat{\lambda}_n^*\right]$$

$$\widehat{\lambda_n} \to -\widehat{\lambda_n^*}$$

• Riportiamo per brevità solo gli operatori λ_3

$$-\lambda_3^* = \begin{pmatrix} -1 & 0 & 0 \\ 0 & 1 & 0 \\ 0 & 0 & 0 \end{pmatrix} \qquad -\lambda_8^* = \frac{1}{\sqrt{3}} \begin{pmatrix} -1 & 0 & 0 \\ 0 & -1 & 0 \\ 0 & 0 & 2 \end{pmatrix}$$
 nente

· Definiamo nuovamei

$$Y = -\frac{1}{\sqrt{3}}\lambda_8^* \qquad T_3 = -\frac{1}{2}\lambda_3^*$$

Studiamo infine l'effetto dei generatori diagonali sulla base standard

$$|\overline{u}\rangle = \begin{pmatrix} 1\\0\\0 \end{pmatrix} |\overline{d}\rangle = \begin{pmatrix} 0\\1\\0 \end{pmatrix} |\overline{s}\rangle = \begin{pmatrix} 0\\0\\1 \end{pmatrix}$$

$$T_3 |\overline{u}\rangle = -\frac{1}{2} |\overline{u}\rangle \quad Y |\overline{u}\rangle = -\frac{1}{3} |\overline{u}\rangle$$

$$T_3 |\overline{d}\rangle = +\frac{1}{2} |\overline{d}\rangle \quad Y |\overline{d}\rangle = -\frac{1}{3} |\overline{d}\rangle$$

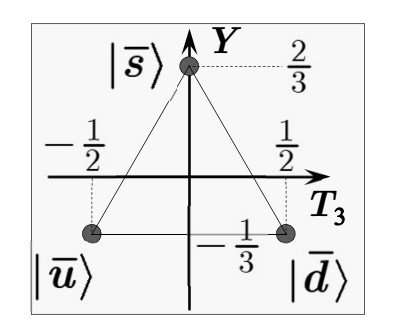
$$T_3 |\overline{s}\rangle = 0 |\overline{s}\rangle \quad Y |\overline{s}\rangle = +\frac{2}{3} |\overline{s}\rangle$$

$$|\overline{u}\rangle \quad |\overline{u}\rangle$$

$$T_3 |\overline{u}\rangle = -\frac{1}{2} |\overline{u}\rangle \quad Y |\overline{u}\rangle = -\frac{1}{3} |\overline{u}\rangle$$

$$T_3 \left| \overline{d} \right\rangle = + \frac{1}{2} \left| \overline{d} \right\rangle \quad Y \left| \overline{d} \right\rangle = - \frac{1}{3} \left| \overline{d} \right\rangle$$

$$T_3 |\overline{s}\rangle = 0 |\overline{s}\rangle$$
 $Y |\overline{s}\rangle = +\frac{2}{3} |\overline{s}\rangle$

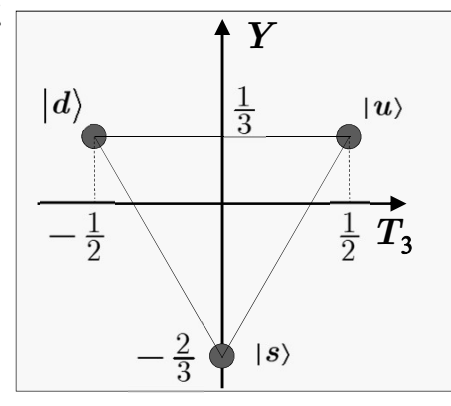


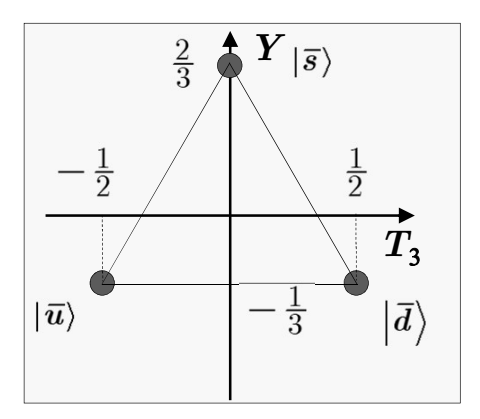
• Rappresentiamo sul piano $Y-T_3$ i 3 stati

Interpretazione: Carica elettrica

• Questi stati rappresentano i tre quark o i tre anti-quark

| Quark | Q | B | T | T_3 | S |
|-------|----------------|---------------|---------------|----------------|----|
| u | $+\frac{2}{3}$ | $\frac{1}{3}$ | $\frac{1}{2}$ | $+\frac{1}{2}$ | 0 |
| d | $-rac{1}{3}$ | $\frac{1}{3}$ | $\frac{1}{2}$ | $-\frac{1}{2}$ | 0 |
| s | $-\frac{1}{3}$ | $\frac{1}{3}$ | 0 | 0 | -1 |





- Analizziamo i numeri quantici dei vettori base delle due rappresentazioni
- Innanzitutto la carica elettrica con la relazione di Gell-Mann e Nishijima

$$\frac{Q}{e} = \frac{Y}{2} + T_3$$

ullet Per i tre stati della rappresentazione 3

$$\frac{Q_u}{e} = \frac{1}{6} + \frac{1}{2} = \frac{2}{3}$$

$$\frac{Q_u}{e} = \frac{1}{6} + \frac{1}{2} = \frac{2}{3} \qquad \qquad \frac{Q_d}{e} = \frac{1}{6} - \frac{1}{2} = -\frac{1}{3} \qquad \qquad \frac{Q_s}{e} = -\frac{2}{6} + 0 = -\frac{1}{3}$$

$$\frac{Q_s}{e} = -\frac{2}{6} + 0 = -\frac{1}{3}$$

• E analogamente per la rappresentazione $\overline{3}$

$$\frac{Q_{\overline{u}}}{e} = -\frac{1}{6} - \frac{1}{2} = -\frac{2}{3} \qquad \frac{Q_{\overline{d}}}{e} = -\frac{1}{6} + \frac{1}{2} = \frac{1}{3} \qquad \frac{Q_{\overline{s}}}{e} = \frac{2}{6} + 0 = \frac{1}{3}$$

$$\frac{Q_{\overline{d}}}{e} = -\frac{1}{6} + \frac{1}{2} = \frac{1}{3}$$

$$\frac{Q_{\overline{s}}}{e} = \frac{2}{6} + 0 = \frac{1}{3}$$

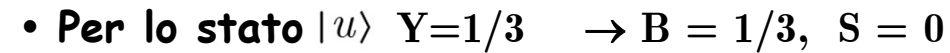
Gli stati hanno pertanto carica frazionaria

Interpretazione: Numero Barionico

 Inoltre ricordiamo la definizione della Ipercarica

$$Y = B + S$$

- Attribuiamo la stranezza e il numero barionico ai vari stati
- Per la rappresentazione 3



• Per lo stato
$$|d\rangle$$
 Y=1/3 \rightarrow B = 1/3, S = 0

• Per lo stato
$$|s\rangle$$
 Y= $-2/3 \rightarrow B = 1/3$, S = -1

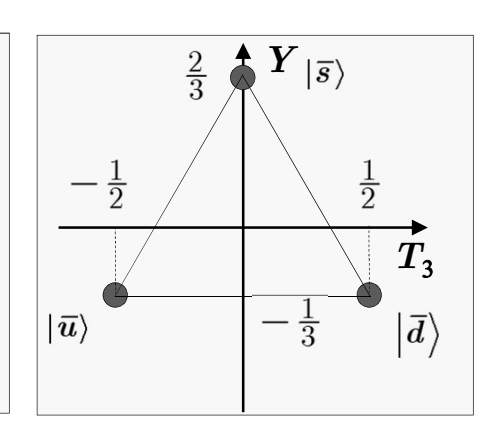
• Per la rappresentazione $\overline{3}$

• Per lo stato
$$|\overline{u}\rangle$$
 Y= $-1/3$ \rightarrow B $=-1/3$, S $=0$

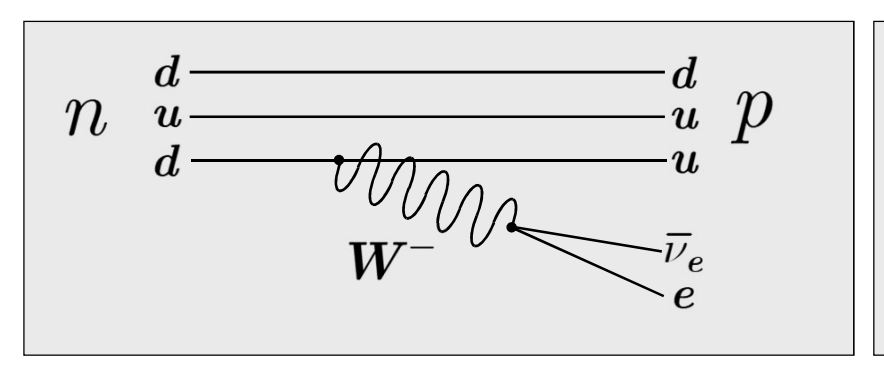
• Per lo stato
$$\left|\overline{d}\right>$$
 Y= $-1/3$ $ightarrow$ B $=-1/3$, S $=0$

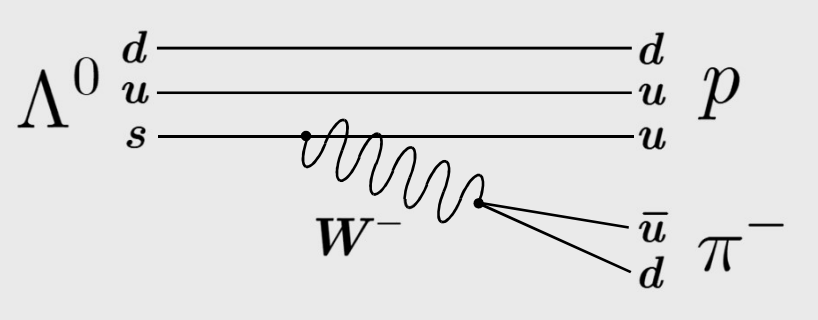
• Per lo stato
$$|\overline{s}\rangle$$
 Y=2/3 \rightarrow B = $-1/3$, S = $+1$

• I famosi Quark e Anti-Quark con carica frazionaria di Gell-Mann



• Abbiamo già detto che interazioni deboli che abbiamo studiato possono essere interpretate a livello dei quark costituenti





- Queste transizioni possono descritte in modo unitario nell'ambito del modello a quark
- Nel caso di $\mathrm{SU}(2)$ abbiamo introdotto correnti di isospin
- ullet Possiamo generalizzare quel formalismo a $\mathrm{SU}(3)$

• In modo completamente analogo a quanto visto per $\mathrm{SU}(2)$ si può definire l'isospinore

$$\Psi = \begin{pmatrix} \psi_u \\ \psi_d \\ \psi_s \end{pmatrix} \equiv q = \begin{pmatrix} u \\ d \\ s \end{pmatrix}$$

Si può definire la Lagrangiana libera dei quark come

$$\mathcal{L} = \overline{q} \left(\gamma^{\mu} \partial_{\mu} + m \right) q$$

- Notiamo che questo implica che le masse dei tre quark sono uguali
- Richiedere l'invarianza di questa lagrangiana rispetto alle trasformazioni di $\mathrm{SU}(3)$ porta a 8 correnti conservate

$$V_k^{\mu} = \overline{q} \gamma^{\mu} \frac{1}{2} \widehat{\lambda}_k q$$

 $V_k^\mu=\overline{q}\,\gamma^\mu\,rac{1}{2}\widehat{\lambda}_k q$ Inoltre è conservata la corrente barionica $B^\mu=\overline{q}\,\gamma^\mu\widehat{I}q$

$$B^{\mu} = \overline{q} \gamma^{\mu} \widehat{I} q$$

• A queste correnti corrispondono 8 cariche conservate

$$\left|Q_k = \int q^\dagger rac{1}{2} \lambda_k q d^3 {f r}
ight| \qquad \left|B = \int q^\dagger q d^3 {f r}
ight|$$

$$B = \int q^{\dagger}qd^3\mathbf{r}$$

ullet Le cariche soddisfano le regole di commutazione di $\mathrm{SU}(3)$

$$igg|\left[Q_i,Q_j
ight]=i\!f_{ijk}Q_k$$

• Le regole di commutazione dei campi sono

$$\left[\,Q_{\!\scriptscriptstyle k},q\,\right] = -\,\tfrac{1}{2}\,\lambda_{\!\scriptscriptstyle k} q \qquad \qquad \left[\,Q_{\!\scriptscriptstyle k},q^\dagger\,\right] = \tfrac{1}{2}\,q^\dagger\lambda_{\!\scriptscriptstyle k}$$

- · Come abbiamo visto sono molto importanti le due seguenti cariche
 - La terza componente dell'isospin

$$T_3 = Q_3$$

L'ipercarica

$$Y = \frac{2}{\sqrt{3}}Q_8$$

Una combinazione importante, che porta alla corrente elettromagnetica

$$j_{\rm em}^{\mu} = V_3^{\mu} + \frac{1}{\sqrt{3}} V_8^{\mu}$$

- Ricordiamo la definizione fatta per le correnti $\,V_k^{\,\mu}=\overline{q}\,\gamma^{\mu}\,{1\over2}\,\lambda_k^{}q\,$
- Per capire la definizione di $j_{\rm em}^\mu$ calcoliamo la somma delle due matrici che definiscono le correnti V_3 e V_8

$$T_3 = \frac{1}{2}\lambda_3 = \frac{1}{2} \begin{pmatrix} 1 & 0 & 0 \\ 0 & -1 & 0 \\ 0 & 0 & 0 \end{pmatrix} \qquad \frac{1}{2}Y = \frac{1}{2\sqrt{3}}\lambda_8 = \frac{1}{6} \begin{pmatrix} 1 & 0 & 0 \\ 0 & 1 & 0 \\ 0 & 0 & -2 \end{pmatrix} \qquad Q = T_3 + \frac{1}{2}Y = \begin{pmatrix} \frac{2}{3} & 0 & 0 \\ 0 & -\frac{1}{3} & 0 \\ 0 & 0 & -\frac{1}{3} \end{pmatrix}$$

• Utilizzando questo risultato troviamo la corrente elettromagnetica espressa in funzione dei tre quark (e delle loro cariche elettriche!)

$$j_{\rm em}^{\mu} = \overline{q} \gamma^{\mu} Q q = \frac{2}{3} \overline{u} \gamma^{\mu} u - \frac{1}{3} \overline{d} \gamma^{\mu} d - \frac{1}{3} \overline{s} \gamma^{\mu} s$$

• Per quel che riguarda le correnti deboli si hanno le seguenti identificazioni

$$J_{+}^{\mu} = V_{1}^{\mu} + i V_{2}^{\mu}$$
 $S_{+}^{\mu} = V_{4}^{\mu} + i V_{5}^{\mu}$

- È facile verificare le seguenti regole di commutazione
 - $\left[\,Q,J_+^\mu\,
 ight] = \pm J_+^\mu$ La corrente J_+ cambia la carica elettrica di una unità
 - $[Q,S_+^\mu]=\pm S_+^\mu$ La corrente S_+ cambia la carica elettrica di una unità
- Pertanto la corrente adronica carica $h=J_+\cos\theta_{
 m c}+S_+\sin\theta_{
 m c}$ ha la regola di selezione $\Delta\,Q=1$
 - $[Y,J_+^\mu]=0$ La corrente J_+ conserva l'ipercarica (quindi la stranezza)
 - $[Y,S_+^\mu]=\pm S_+^\mu$ La corrente S_+ cambia l'ipercarica di una unità $|\Delta S|=1$
 - ullet Inoltre questa regola insieme alla prima implica che $oldsymbol{\Delta} \, Q \, = \, oldsymbol{\Delta} \, S$
- Per finire le regole dell'isospin
 - $[T_3,J_+^\mu]=\pm J_+^\mu$ La corrente J_+ cambia l'isospin (${f T_3}$) di una unità
 - $[T_3,S_+^\mu]=\pm rac{1}{2}S_+^\mu$ La corrente S_+ cambia l'isospin di 1/2

- Per finire scriviamo le correnti esplicitando il contenuto dei quark
- ullet Per la corrente J_+

$$J_{+}^{\mu} = V_{1}^{\mu} + i V_{2}^{\mu} \qquad \qquad \frac{\lambda_{1} + i \lambda_{2}}{2} = \frac{1}{2} \begin{bmatrix} 0 & 1 & 0 \\ 1 & 0 & 0 \\ 0 & 0 & 0 \end{bmatrix} + \frac{1}{2} i \begin{bmatrix} 0 & -i & 0 \\ i & 0 & 0 \\ 0 & 0 & 0 \end{bmatrix} = \begin{bmatrix} 0 & 1 & 0 \\ 0 & 0 & 0 \\ 0 & 0 & 0 \end{bmatrix}$$

$$J_{+}^{\mu} = \begin{pmatrix} \overline{u} & \overline{d} & \overline{s} \end{pmatrix} \begin{pmatrix} 0 & 1 & 0 \\ 0 & 0 & 0 \\ 0 & 0 & 0 \end{pmatrix} \gamma^{\mu} \begin{pmatrix} u \\ d \\ s \end{pmatrix} = \overline{u} \gamma^{\mu} d$$

- ullet Pertanto la corrente J_+ trasforma un quark d in un quark u
- Per la corrente S_+ otteniamo

$$S_{+}^{\mu} = V_{4}^{\mu} + iV_{5}^{\mu} \qquad \qquad \frac{\lambda_{4} + i\lambda_{5}}{2} = \frac{1}{2} \begin{pmatrix} 0 & 0 & 1 \\ 0 & 0 & 0 \\ 1 & 0 & 0 \end{pmatrix} + \frac{1}{2} i \begin{pmatrix} 0 & 0 & -i \\ 0 & 0 & 0 \\ i & 0 & 0 \end{pmatrix} = \begin{pmatrix} 0 & 0 & 1 \\ 0 & 0 & 0 \\ 0 & 0 & 0 \end{pmatrix}$$

$$J_{+}^{\mu} = \begin{pmatrix} \overline{u} & \overline{d} & \overline{s} \end{pmatrix} \begin{pmatrix} 0 & 0 & 1 \\ 0 & 0 & 0 \\ 0 & 0 & 0 \end{pmatrix} \gamma^{\mu} \begin{pmatrix} u \\ d \\ s \end{pmatrix} = \overline{u} \gamma^{\mu} s$$

ullet Pertanto la corrente S_+ trasforma un quark s in un quark u

- Il formalismo sviluppato permette di trovare relazioni fra gli elementi di matrice di moltissimi processi
 - Analogo all'ipotesi CVC
- L'invarianza (globale) per $\mathrm{SU}(3)$ è una simmetria nello spazio del "sapore" (flavor) dei quark
 - · La sua origine è nella quasi uguaglianza delle masse dei quark più leggeri
- La simmetria è rotta per i quark più pesanti
 - Non ci sono sviluppi sostanziali per gruppi più estesi di $\mathrm{SU}(3)$
- Non ci sono sviluppi interessanti se si richiede una invarianza locale